

УДК 532.591:539.3:534.1

## ПЛОСКАЯ ЗАДАЧА О ВОЗДЕЙСТВИИ НЕСКОЛЬКИХ УДАРНЫХ ИМПУЛЬСОВ НА ВЯЗКОУПРУГУЮ ПЛАСТИНУ, ПЛАВАЮЩУЮ НА ПОВЕРХНОСТИ ЖИДКОСТИ

А. В. Погорелова

Институт машиноведения и металлургии ДВО РАН, 681005 Комсомольск-на-Амуре  
E-mail: milova@yandex.ru

Рассматривается влияние совокупности последовательных и одновременных импульсных нагрузок на прогиб и напряжения ледяного покрова жидкости. Анализируется влияние глубины водоема, толщины пластины, режима нагружения импульсами и расстояния между ними на высоту изгибно-гравитационной волны и изгибающие напряжения в пластине.

**Ключевые слова:** плавающая вязкоупругая пластина, импульсная нагрузка, напряженно-деформированное состояние, изгибно-гравитационная волна.

Одним из способов разрушения ледяного покрова является его подрыв. Для увеличения области разрушения часто используется несколько зарядных устройств, расположенных на определенном расстоянии друг от друга и приводимых в действие одновременно либо поочередно. Поэтому большой интерес представляет задача об использовании интерференции изгибно-гравитационных волн, распространяющихся от различных источников нагрузки на ледяной покров [1].

Поведение ледяного покрова под действием ударной нагрузки активно изучается на протяжении последних десятилетий (см., например, работы [2, 3] и библиографию к ним). Обзор исследований волнообразования в ледяном покрове и поведения на волнах очень больших плавающих структур (very large floating structure (VLFS)) содержится в работе [4]. Среди последних работ, посвященных изучению воздействия ударного импульса на ледяной покров, отметим работы [5–9]. Наряду с исследованиями импульсной нагрузки на бесконечную пластину изучаются изгибно-гравитационные колебания упругой пластины конечных размеров, подвергаемой периодической нагрузке [10–12].

В настоящей работе решается задача о прогибе вязкоупругой пластины, вызванном несколькими одновременными или последовательными импульсными нагрузками, точки приложения которых расположены на определенном расстоянии друг от друга.

**1.** Рассматриваемая задача является плоской. Пусть на поверхности идеальной несжимаемой жидкости плавает бесконечная вязкоупругая ледяная пластина, которая сначала находится в состоянии равновесия, а затем в моменты времени  $t_1, t_2, \dots, t_n$  нагружается ударными импульсами  $Y_1, Y_2, \dots, Y_n$ . Рассматривается нечетное количество импульсов, точки приложения которых находятся на расстоянии  $l$  друг от друга. Начало системы координат совмещено с точкой приложения импульса  $Y_i$ , расположенного в середине ряда импульсов  $Y_1, Y_2, \dots, Y_n$  (в частном случае, если импульс одиночный, начало координат совмещено с точкой приложения этого импульса), ось  $Ox$  находится на невозмущенной поверхности раздела пластина — жидкость, ось  $Oz$  направлена вверх. Движение жидкости полагается потенциальным, а ее плотность — равной  $\rho_2$ .

Согласно работам [13, 14] для льда принимается закон деформирования линейной упругозапаздывающей среды Кельвина — Фойгта.

По аналогии с работой [2] полагается, что для описания прогиба ледяной пластины можно использовать метод суперпозиции ее волновых возмущений, вызванных нагружением ударными импульсами  $Y_1, Y_2, \dots, Y_n$ , приложенными в точках  $x_1, x_2, \dots, x_n$ . В этом случае дифференциальное уравнение малых колебаний плавающей пластины записывается в виде

$$\left(\frac{Gh^3}{3}\left(1 + \tau_K \frac{\partial}{\partial t}\right) \frac{\partial^4}{\partial x^4} + \rho_1 h \frac{\partial^2}{\partial t^2} + \rho_2 g\right)w + \rho_2 \frac{\partial \Phi}{\partial t} \Big|_{z=0} = - \sum_{r=1}^n Y_0 \delta(x - x_r) \delta(t - t_r), \quad (1.1)$$

где  $G = 0,5E/(1 + \nu)$  — модуль упругости льда при сдвиге;  $E$  — модуль упругости льда при растяжении и сжатии;  $\nu$  — коэффициент Пуассона льда;  $h(x)$ ,  $\rho_1(x)$  — толщина и плотность льда соответственно;  $\tau_K$  — время релаксации деформаций льда, или “время запаздывания” [13, 14];  $w(x, t)$  — прогиб ледяной пластины, вызванный ударными импульсами  $Y_1, Y_2, \dots, Y_n$ ;  $\Phi(x, z, t)$  — функция потенциала скорости жидкости, удовлетворяющая уравнению Лапласа  $\Delta \Phi = 0$ ;  $Y_0 \delta(x - x_r) \delta(t - t_r)$  — функция ударного импульса, приложенного в точке  $x_r$  в момент времени  $t_r$ ;  $\delta(x)$ ,  $\delta(t)$  — дельта-функции Дирака;  $g$  — ускорение свободного падения. В дальнейшем величины  $\rho_1$ ,  $h$  полагаются постоянными. В качестве расчетных величин модуля сдвига  $G$  и плотности пластины  $\rho_1$  следует принимать их приведенные значения, определяемые как интегральные величины по толщине пластины.

Начальные условия для функции  $w(x, t)$  являются однородными:

$$w(x, 0) = \dot{w}(x, 0) = 0.$$

Линеаризованное кинематическое условие на поверхности раздела лед — вода имеет вид

$$\frac{\partial \Phi}{\partial z} \Big|_{z=0} = \frac{\partial w}{\partial t}. \quad (1.2)$$

Граничное условие на дне водоема для функции потенциала скорости жидкости  $\Phi(x, z, t)$  записывается в виде

$$\frac{\partial \Phi}{\partial z} \Big|_{z=-H} = 0, \quad (1.3)$$

где  $H = H_1 - b$ ;  $H_1$  — глубина водоема;  $b = \rho_1 h / \rho_2$  — глубина погружения льда при статическом равновесии.

**2.** При аналитическом решении задачи полагается, что функции  $w(x, t)$ ,  $\Phi(x, z, t)$  удовлетворяют необходимым условиям для применения к ним преобразования Фурье по переменной  $x$ :

$$w_F(\gamma, t) = \frac{1}{\sqrt{2\pi}} \int_{-\infty}^{+\infty} \exp(-i(\gamma x)) w(x, t) dx,$$

$$\Phi_F(\gamma, z, t) = \frac{1}{\sqrt{2\pi}} \int_{-\infty}^{+\infty} \exp(-i(\gamma x)) \Phi(x, z, t) dx.$$

Аналогично [7, 8, 13] применим к уравнению (1.1) преобразование Фурье с использованием условий (1.2), (1.3), в результате получаем следующее уравнение второго порядка для трансформанты  $w_F$ :

$$\ddot{w}_F m(\gamma) + \dot{w}_F k(\gamma) + w_F c(\gamma) = - \sum_{r=1}^n \frac{Y_0 \exp(-ix_r \gamma)}{\sqrt{2\pi}} \delta(t - t_r), \quad (2.1)$$

где

$$k(\gamma) = \tau_K \frac{Gh^3\gamma^4}{3}, \quad m(\gamma) = \rho_1 h + \frac{\rho_2}{\gamma \operatorname{th}(\gamma H)}, \quad c(\gamma) = \rho_2 g + \frac{Gh^3\gamma^4}{3}.$$

Используя преобразование Лапласа и однородные начальные условия, из уравнения (2.1) для функции  $w_F$  получаем

$$w_F = \sum_{r=1}^n Y_0 w_{rF} \exp(-ix_r \gamma),$$

где

$$w_{rF} = \begin{cases} -\frac{1}{\sqrt{cm - k^2/4}} \exp\left(-\frac{k(t-t_r)}{2m}\right) \sin\left(\frac{t-t_r}{m} \sqrt{cm - \frac{k^2}{4}}\right), & cm - \frac{k^2}{4} > 0, \\ -\frac{1}{\sqrt{k^2/4 - cm}} \exp\left(-\frac{k(t-t_r)}{2m}\right) \operatorname{sh}\left(\frac{t-t_r}{m} \sqrt{\frac{k^2}{4} - cm}\right), & \frac{k^2}{4} - cm > 0, \\ -\frac{t-t_r}{m} \exp\left(-\frac{k(t-t_r)}{2m}\right), & cm - \frac{k^2}{4} = 0. \end{cases}$$

После применения обратного преобразования Фурье искомая функция  $w(x, t)$  записывается в виде

$$w(x, t) = \sum_{r=1}^n \frac{1}{\pi} \int_0^{\infty} Y_0 w_{rF} \cos(\gamma(x - x_r)) d\gamma. \quad (2.2)$$

Для вычисления изгибающих напряжений используется формула

$$\sigma(x, t) = -2Gh \left( \frac{\partial^2 w(x, t)}{\partial x^2} + \tau_K \frac{\partial^3 w(x, t)}{\partial t \partial x^2} \right). \quad (2.3)$$

**3.** Вычисления по формулам (2.2), (2.3) проводились при следующих значениях параметров ледяной пластины и водоема:  $\rho_2 = 1000 \text{ кг/м}^3$ ,  $\rho_1 = 900 \text{ кг/м}^3$ ,  $\nu = 1/3$ ,  $E = 5 \cdot 10^9 \text{ Н/м}^2$ ,  $h = 0,5 \div 2,5 \text{ м}$ ,  $H = 1 \div 500 \text{ м}$ ,  $\tau_K = 0,69 \text{ с}$ ,  $Y_0 = 5 \cdot 10^4 \text{ Н/м}^2$ . Значение времени релаксации  $\tau_K$  выбиралось в соответствии с экспериментальными данными [15].

Рассматриваются следующие режимы нагружения импульсами  $Y_1, Y_2, \dots, Y_n$ :

— последовательный (импульсы активизируются в последовательности их расположения  $Y_1, Y_2, \dots, Y_n$ );

— последовательно-встречный (в начальный момент активизируются импульсы, расположенные по краям ряда  $Y_1$  и  $Y_n$ , затем —  $Y_2$  и  $Y_{n-1}$ , и так далее, последним активизируется импульс, находящийся в середине ряда импульсов);

— одновременный (в начальный момент времени активизируются все импульсы  $Y_1, Y_2, \dots, Y_n$ );

— одиночный (один импульс активизируется в начальный момент времени).

Для расчета временного интервала между импульсами при последовательном и последовательно-встречном режимах используется формула

$$T = l/u, \quad (3.1)$$

где  $u$  — предполагаемая скорость распространения наибольшего прогиба изгибно-гравитационной волны в ледяном покрове.

На рис. 1 показаны прогибы ледяной пластины при различных режимах нагружения тремя импульсами для глубины водоема  $H = 5 \text{ м}$  и толщины ледяного покрова  $h = 0,5 \text{ м}$ .

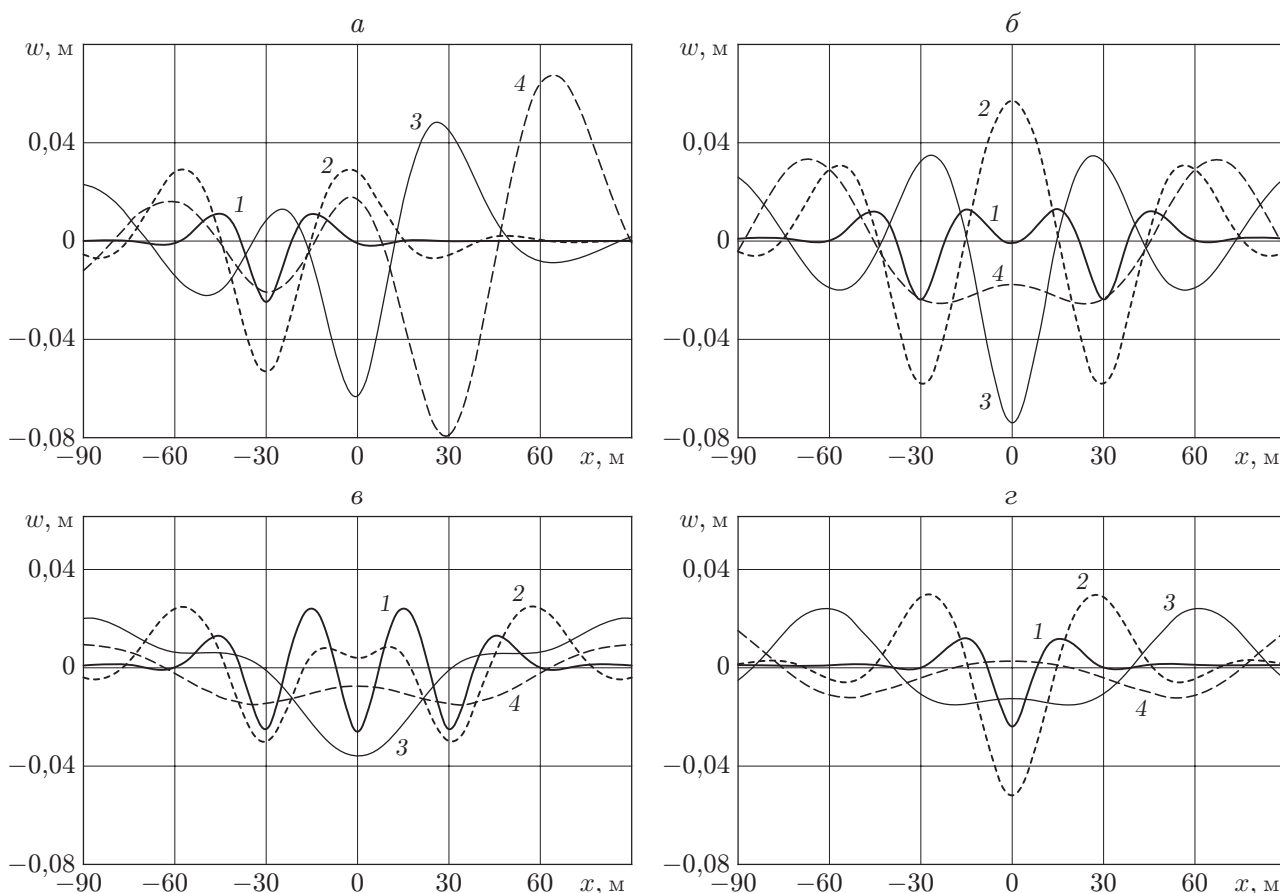


Рис. 1. Зависимость прогибов ледяной пластины от координаты  $x$  при  $H = 5$  м,  $h = 0,5$  м и различных режимах нагружения:  
 а-в — нагружение тремя импульсами: а — последовательный режим ( $x_1 = -30$  м,  $t_1 = 0$ ;  $x_2 = 0$ ,  $t_2 = 4,29$  с;  $x_3 = 30$  м,  $t_3 = 8,58$  с); б — последовательно-встречный режим ( $x_1 = -30$  м,  $t_1 = 0$ ;  $x_2 = 0$ ,  $t_2 = 4,29$  с;  $x_3 = 30$  м,  $t_3 = 0$ ); в — одновременный режим ( $x_1 = -30$  м,  $x_2 = 0$ ,  $x_3 = 30$  м,  $t_1 = t_2 = t_3 = 0$ ); г — нагружение одиночным импульсом ( $x_1 = 0$ ,  $t_1 = 0$ ); 1 —  $t = 0,1$  с; 2 —  $t = 1$  с; 3 —  $t = 5$  с; 4 —  $t = 10$  с

В предположении, что в условиях мелкой воды скорость изгибно-гравитационной волны приблизительно равна  $u = \sqrt{gH}$  [3, 13], временной интервал между срабатыванием ударных импульсов для последовательного и последовательно-встречного режимов рассчитывается по формуле (3.1).

Анализ рис. 1 показывает, что при последовательном и последовательно-встречном режимах нагружения прогибы ледяного покрова больше, чем в случае одновременного режима. Это обусловлено тем, что при последовательном и последовательно-встречном режимах (см. рис. 1, а, б) каждый последующий импульс прикладывается к заданной точке пластины приблизительно в тот момент, когда этой точки достигает подошва наибольшего прогиба изгибно-гравитационной волны. Таким образом, каждый последующий импульс приводит к увеличению амплитуды прогиба ледяной пластины. Это подтверждается модельными экспериментами [1]. Анализ поведения прогиба ледяного покрова при одновременном режиме нагружения (см. рис. 1, в) показывает, что с течением времени изгибно-гравитационные волны, распространяющиеся от каждого источника импульса, гасят друг друга, при этом абсолютная величина прогиба сопоставима с величиной прогиба в случае нагружения одиночным импульсом (см. рис. 1, г).

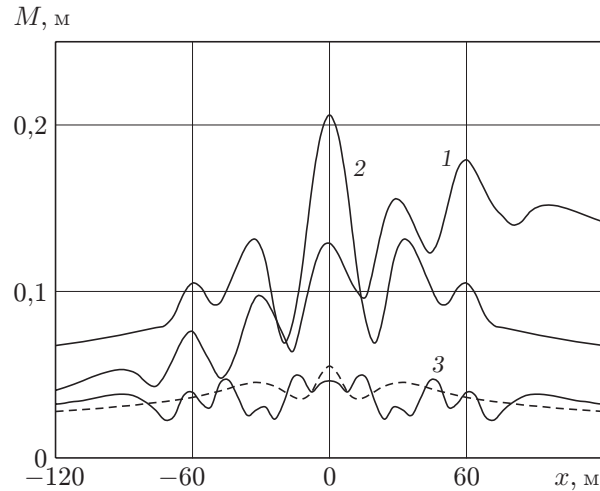


Рис. 2. Зависимость высоты изгибно-гравитационной волны от координаты  $x$  при  $H = 5$  м,  $h = 0,5$  м и различных режимах нагружения:

1–3 — нагружение пятью импульсами: 1 — последовательный режим ( $t_1 = 0, t_2 = 4,29$  с,  $t_3 = 8,57$  с,  $t_4 = 12,86$  с,  $t_5 = 17,14$  с); 2 — последовательно-встречный ( $t_1 = t_5 = 0, t_2 = t_4 = 4,29$  с;  $t_3 = 8,57$  с); 3 — одновременный режим ( $t_1 = t_2 = t_3 = t_4 = t_5 = 0$ ); штриховая линия — нагружение одиночным импульсом ( $x_1 = 0, t_1 = 0$ )

Очевидно, что с течением времени  $t$  прогиб пластины  $w(x, t)$  в любой точке  $x$  достигает наибольшего и наименьшего значений. Разность наибольшего и наименьшего значений прогиба  $w(x, t)$  в заданной точке  $x$  будем называть высотой изгибно-гравитационной волны в точке  $x$  и обозначать  $M(x)$ .

На рис. 2 при  $H = 5$  м и  $h = 0,5$  м представлены зависимости  $M(x)$  для последовательного, последовательно-встречного и одновременного режимов срабатывания пяти ударников, расположенных в точках  $x_1 = -60$  м,  $x_2 = -30$  м,  $x_3 = 0$ ,  $x_4 = 30$  м,  $x_5 = 60$  м. Для сравнения показана высота изгибно-гравитационной волны в случае одиночного импульса, приложенного в момент  $t_1 = 0$  в точке  $x_1 = 0$  (штриховая линия на рис. 2). Временной интервал между срабатыванием ударных импульсов для случаев последовательного и последовательно-встречного нагружения рассчитывался по формуле (3.1) при  $u = \sqrt{gH}$ .

На рис. 2 видно, что по сравнению с одновременным режимом срабатывания ударных импульсов последовательный и последовательно-встречный режимы приводят к увеличению высоты изгибно-гравитационной волны  $M(x)$  более чем в четыре раза. Высота волны  $M(x)$  достигает максимальных значений в точках приложения последних импульсов для последовательного ( $x = 60$  м) и последовательно-встречного режимов ( $x = 0$ ). При этом величина  $M(0)$  для последовательно-встречного режима больше, чем величина  $M(60)$  для последовательного режима. В случае одновременного срабатывания пяти импульсов максимальная высота волны сравнима с высотой волны в случае нагружения одиночным импульсом, а воздействие импульса распространяется на более широкую область.

Проанализируем влияние скорости  $u$  в формуле для расчета временного интервала (3.1) на максимальную высоту волны  $M_*$  при воздействии пяти импульсов, точки приложения которых расположены на расстоянии друг от друга  $l = 30$  м ( $x_1 = -60$  м,  $x_2 = -30$  м,  $x_3 = 0$ ,  $x_4 = 30$  м,  $x_5 = 60$  м).

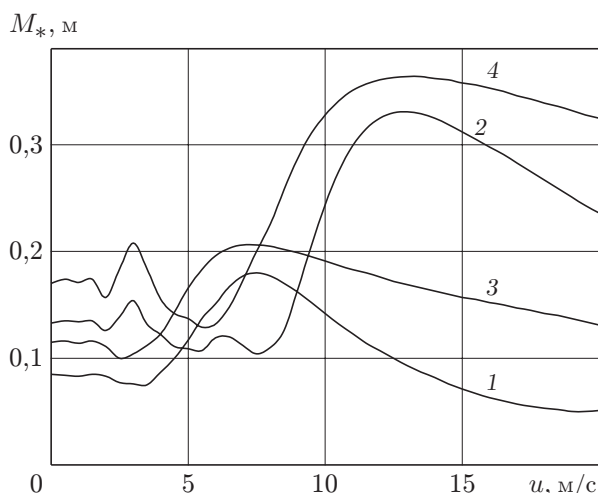


Рис. 3

Рис. 3. Зависимость максимальной высоты изгибно-гравитационной волны  $M_*$  от скорости  $u$  для последовательного (1, 2) и последовательно-встречного (3, 4) режимов нагружения при  $h = 0,5$  м и различных значениях  $H$ :

1, 3 —  $H = 5$  м, 2, 4 —  $H = 100$  м

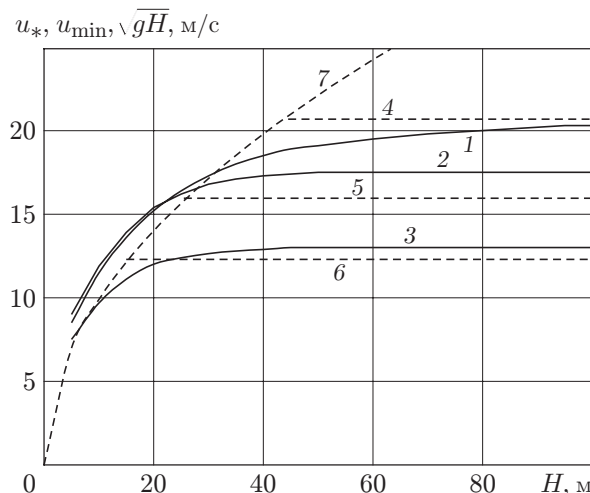


Рис. 4

Рис. 4. Зависимости скорости  $u_*$  (1-3),  $u = u_{\min}$  (4-6),  $u = \sqrt{gH}$  (7) от глубины водоема  $H$ :

1, 4 —  $h = 2$  м, 2, 5 —  $h = 1$  м, 3, 6 —  $h = 0,5$  м

На рис. 3 при  $h = 0,5$  м приведены значения высоты волны  $M_* = M(60)$  для последовательного режима нагружения (кривые 1, 2) и  $M_* = M(0)$  для последовательно-встречного режима (кривые 3, 4). Видно, что при любых значениях скорости  $u$  в случае последовательно-встречного режима высота волны больше, чем в случае последовательного режима. Это подтверждается модельными экспериментами [1]. Путем выбора скорости  $u$  наибольшее значение высоты изгибно-гравитационной волны в случае глубокой воды можно существенно увеличить по сравнению со случаем мелкой воды. Заметим, что кривые 1, 2 (последовательный режим) имеют более четко выраженные максимумы, чем кривые 3, 4 (последовательно-встречный режим). В случае  $h = 0,5$  м эти максимальные значения имеют место при  $u \approx \sqrt{gH}$  для мелкой воды и при  $u \approx u_{\min}$  для глубокой воды ( $u_{\min} = 2(Dg^3/(27\rho_2))^{1/8}$  — минимальная фазовая скорость изгибно-гравитационных волн ледяного покрова для водоема большой глубины [3, 13];  $D = Eh^3/(12(1 - \nu^2))$  — цилиндрическая жесткость пластины (при  $h = 0,5$  м и  $E = 5 \cdot 10^9$  Н/м<sup>2</sup>  $u_{\min} \approx 12,3$  м/с)).

Обозначим через  $u_*$  значение скорости  $u$  распространения наибольшего прогиба изгибно-гравитационной волны, соответствующее наибольшему значению  $M_*$  при последовательном режиме. Очевидно, что величина  $u_*$  должна зависеть от параметров ледяного покрова и глубины водоема.

На рис. 4 представлены зависимости скоростей  $u_*$ ,  $u = u_{\min}$ ,  $u = \sqrt{gH}$  от глубины водоема  $H$  при различной толщине ледяного покрова  $h$ . Видно, что в случае мелкой воды высота волны достигает максимума при значениях  $u$ , на 10 ÷ 20 % превышающих значение  $u = \sqrt{gH}$  (это подтверждают модельные эксперименты [1]), в случае глубокой воды — при  $u \approx u_{\min}$ . Таким образом, для увеличения высоты изгибно-гравитационной волны при использовании последовательного (или последовательно-встречного) режима активации импульсных нагрузок временной интервал  $T$  между импульсами необходимо

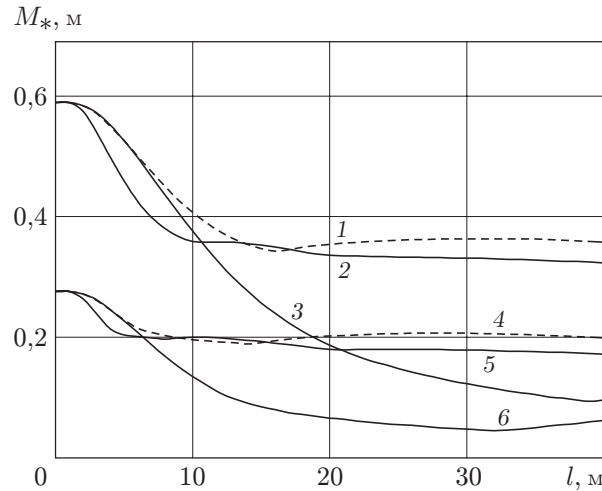


Рис. 5. Зависимость максимальной высоты волны  $M_*$  от расстояния между точками приложения импульсов  $l$  при  $h = 0,5$  м и различных режимах активации пяти импульсов:

1, 4 — последовательно-встречный режим, 2, 5 — последовательный режим, 3, 6 — одновременный режим; 1–3 —  $u = u_{\min}$ ,  $H = 100$  м, 4–6 —  $u = \sqrt{gH}$ ,  $H = 5$  м

рассчитывать с учетом скорости распространения этой волны  $u \approx (1,1 \div 1,2)\sqrt{gH}$  для мелкой воды и  $u = u_{\min}$  для глубокой воды. Заметим, что зависимости  $u_*(H)$  на рис. 4 соответствуют значениям критических скоростей перемещения постоянной нагрузки по ледяному покрову [3, 13].

На рис. 5 для  $h = 0,5$  м приведена зависимость максимальной высоты волны  $M_*$  от расстояния между точками приложения импульсов  $l$  при различных режимах активации пяти импульсов для  $u = u_{\min}$ ,  $H = 100$  м (кривые 1–3) и  $u = \sqrt{gH}$ ,  $H = 5$  м (кривые 4–6). Максимальные значения высоты волны  $M_*$  при последовательном (кривые 2, 5) и последовательно-встречном режимах (кривые 1, 4) вычисляются в точках приложения последних импульсов, при одновременном режиме (кривые 3, 6) — в точке приложения импульса, расположенного в середине ряда импульсов. Как следует из рис. 2, сложно выделить точку  $x$ , в которой высота волны принимает наибольшее значение при одновременном режиме, поэтому для результатов, представленных на рис. 5, при одновременном режиме использовалось значение высоты волны в одной из точек локального максимума, а именно в точке приложения импульса, расположенного в середине ряда импульсов.

Анализ рис. 5 показывает, что изгибно-гравитационная волна в ледяном покрове толщиной  $h = 0,5$  м достигает наибольшей высоты, в случае если расстояние между точками приложения импульсов  $l \leq 1$  м. При этом выбор режима не влияет на максимальный прогиб ледяного покрова. Для малых расстояний между импульсами (при  $h = 0,5$  м  $1 \text{ м} < l < 3$  м для мелкой воды,  $1 \text{ м} < l < 5$  м для глубокой воды) высота волны в случае одновременного и последовательно-встречного режимов одна и та же и превышает высоту волны в случае последовательного режима. При увеличении расстояния между импульсами последовательный режим становится сопоставимым с последовательно-встречным, в то время как одновременный режим менее эффективен, по крайней мере, в тех случаях, когда расстояние между точками приложения импульсов  $l$  не равно длине волны.

На рис. 5 видно, что высота волны в случае последовательно-встречного режима нагружения больше, чем в случае одновременного режима, при всех  $l$ , за исключением области малых расстояний  $l$ , в которой высота волны при указанных режимах одинакова.

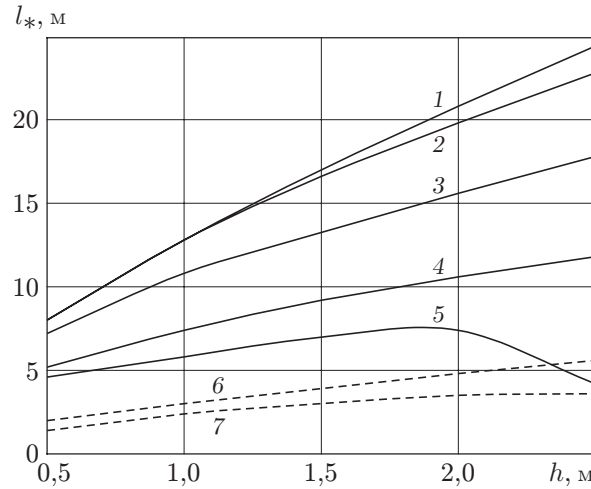


Рис. 6. Зависимость критического расстояния между точками приложения импульсов  $l_*$  от толщины ледяного покрова  $h$  при различной глубине водоема: 1 —  $H = 500$  м, 2, 6 —  $H = 100$  м, 3 —  $H = 25$  м, 4, 7 —  $H = 5$  м, 5 —  $H = 1$  м; штриховые кривые — минимальные значения  $l_*$ , при которых наибольшее значение  $S(x)$  для последовательно-встречного режима нагружения пятью импульсами превышает наибольшее значение  $S(x)$  для одновременного режима более чем на 5 %

Выберем значение  $l_*$  таким образом, чтобы при  $l \geq l_*$  максимальное значение высоты изгибно-гравитационной волны  $M_*$  при последовательно-встречном режиме превышало аналогичное значение для одновременного режима более чем на 5 %. На рис. 6 представлена зависимость расстояния  $l_*$  от толщины ледяного покрова  $h$  при различной глубине водоема. Видно, что для множества всех значений  $h$  и  $l$  в области, лежащей выше кривых 1–5 на рис. 6, высота изгибно-гравитационной волны при последовательно-встречном режиме больше, чем при одновременном режиме. В области, лежащей ниже кривых 1–5, максимальная высота волны при указанных режимах примерно одинакова. Назовем эту область областью применимости одновременного режима. Из рис. 6 следует, что в случае большой глубины водоема  $H$  данная область расширяется при увеличении толщины ледяного покрова  $h$ . В случае малых глубин водоема  $H$  при любой толщине ледяного покрова  $h$  область применимости одновременного режима ограничена малыми расстояниями  $l$  между точками приложения импульсов.

Рассмотрим поведение изгибающего напряжения  $\sigma(x, t)$  в точках, соответствующих максимальной высоте волны  $M_*$ . Из формул (2.2), (2.3) следует, что при  $\tau_K \neq 0$   $\sigma(x, t) \xrightarrow{t \rightarrow t_r} \infty$ . Однако численные расчеты показывают, что несобственный интеграл  $\int_0^\infty \sigma(x, t) dt$  является сходящимся для любого конечного числа импульсов, приложенных к пластине. Поэтому для анализа влияния нескольких импульсов на изгибающие напряжения вводится интегральный показатель напряжений в пластине

$$S(x) = \int_0^\infty |\sigma(x, t)| dt,$$

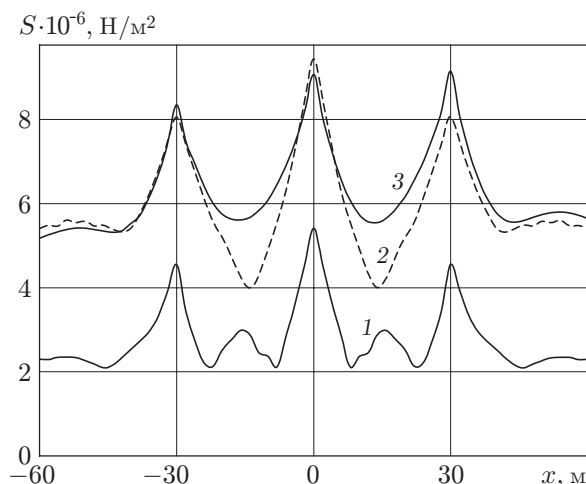


Рис. 7. Зависимость интегрального показателя напряжения  $S$  от координаты  $x$  в пластине при  $H = 5$  м,  $h = 0,5$  м и различных режимах нагружения тремя импульсами, расположенными в точках  $x_1 = -30$  м,  $x_2 = 0$ ,  $x_3 = 30$  м:

1 — одновременный режим ( $t_1 = t_2 = t_3 = 0$ ); 2 — последовательно-встречный ( $t_1 = t_3 = 0$ ,  $t_2 = 4,29$  с); 3 — последовательный режим ( $t_1 = 0$ ,  $t_2 = 4,29$  с,  $t_3 = 8,57$  с)

при вычислении которого сначала суммируются все изгибающие напряжения в пластине, полученные в результате воздействия нескольких импульсов, а затем находится несобственный интеграл от абсолютного значения полученной величины.

На рис. 7 приведены зависимости  $S(x)$  для трех импульсов, приложенных к пластине в точках  $x_1 = -30$  м,  $x_2 = 0$ ,  $x_3 = 30$  м, при глубине водоема  $H = 5$  м и толщине ледяного покрова  $h = 0,5$  м. Временной интервал между последовательным воздействием импульсов рассчитывался по формуле (3.1) при  $u = \sqrt{gH}$ . Видно, что при последовательном и последовательно-встречном режимах нагружения напряжения в пластине в два раза больше, чем при одновременном приложении импульсов. В точках приложения импульсов, соответствующих максимальным значениям высоты волны  $M_*$ , интегральный показатель напряжений  $S(x)$  также принимает максимальные значения.

Анализ влияния глубины водоема, толщины ледяного покрова и режима приложения импульсов на зависимость  $S(x)$  показывает, что наибольшие значения интегрального показателя изгибающих напряжений  $S(x)$ , так же как высоты волны, имеют место при последовательно-встречном режиме нагружения. При этом диапазон значений параметра  $l$ , в котором величина  $S(x)$  при одновременном режиме нагружения принимает такие же большие значения, как при последовательно-встречном режиме, ограничивается малыми расстояниями между точками приложения импульсов. Это подтверждает рис. 6, где показаны минимальные значения  $l_*$ , при которых наибольшее значение  $S(x)$  при последовательно-встречном режиме приложения пяти импульсов превышает аналогичное значение для одновременного режима более чем на 5 % (кривые 6, 7 для  $H = 100$ , 5 м соответственно).

На рис. 8 показаны зависимости максимальной высоты волны  $M_*$  и интегрального показателя  $S_*$  от глубины водоема  $H$  при последовательно-встречном режиме воздействия пяти импульсов, расположенных на расстоянии друг от друга  $l = 30$  м. Видно, что увеличение глубины водоема от значения  $H = 5$  м до значения  $H = 100$  м приводит к существенному (почти в два раза) увеличению высоты волны, однако практически не влияет на изгибные напряжения в ледяном покрове.

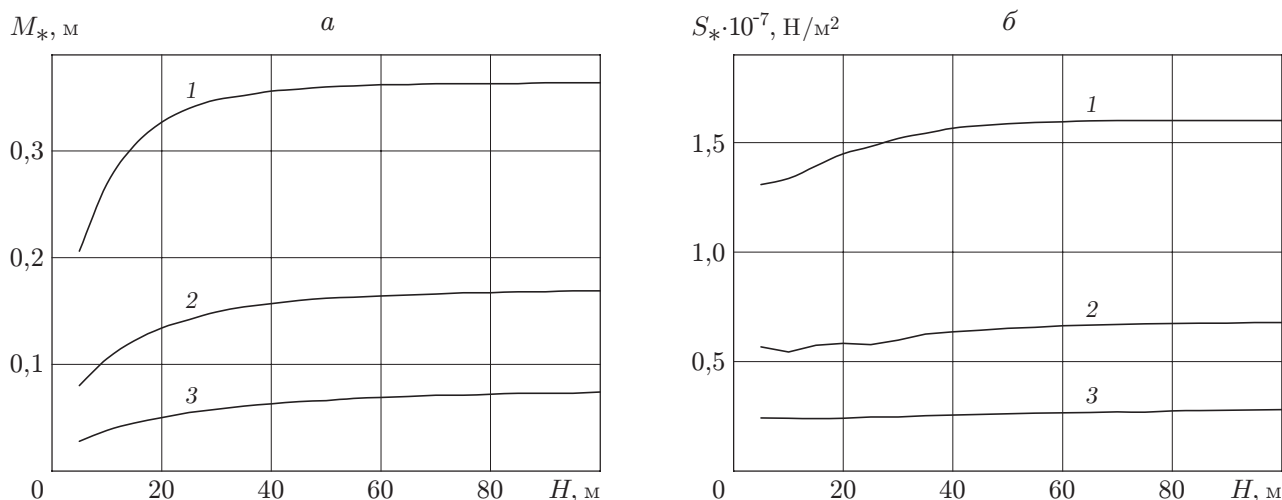


Рис. 8. Зависимости максимальной высоты волны  $M_*$  (а) и максимального показателя изгибных напряжений в пластине (б) от глубины водоема  $H$  при различных значениях толщины ледяного покрова:  
 1 —  $h = 0,5$  м; 2 —  $h = 1$  м; 3 —  $h = 2$  м

Заметим, что увеличение мощности одиночного импульса приводит к увеличению изгибного напряжения в точке приложения нагрузки, при этом в непосредственной окрестности данной точки величина изгибного напряжения может превысить предел прочности льда на изгиб и вызвать разрушение пластины, однако область разрушения будет незначительной.

4. Полученные результаты подтверждают предположения, сделанные в работе [1], о том, что последовательный и последовательно-встречный режимы импульсных нагрузок позволяют увеличить амплитуду прогиба ледяного покрова и изгибное напряжение в нем по сравнению с одновременным режимом воздействия импульсов. Однако это возможно только в случае, если расстояние между точками приложения импульсов больше некоторого значения  $l_*$ , зависящего от глубины водоема и толщины ледяного покрова. Если расстояние между точками приложения импульсов меньше  $l_*$ , то высота волны и изгибающие напряжения при одновременном режиме принимают такие же значения, как при последовательно-встречном режиме.

Максимальных значений высота волны и изгибающие напряжения достигают в точках приложения импульсов, причем при последовательном и последовательно-встречном режимах наибольшие значения этих параметров имеют место в точках приложения последних импульсов.

Для оптимизации использования последовательного и последовательно-встречного режимов временные интервалы между импульсами должны рассчитываться по формуле (3.1) при значении скорости  $u \approx (1,1 \div 1,2)\sqrt{gH}$  для мелкой воды или  $u \approx u_{\min}$  для глубокой воды. Высота волны и изгибающие напряжения при последовательно-встречном режиме нагружения больше, чем при последовательном режиме.

Увеличение глубины водоема хотя и приводит к увеличению высоты изгибно-гравитационной волны в точках приложения импульсов, но не вносит существенных изменений в изгибающие напряжения в ледяном покрове.

## ЛИТЕРАТУРА

1. **Козин В. М.** Резонансный метод разрушения ледяного покрова. Изобретения и эксперименты. М.: Акад. естествознания, 2007.
2. **Kerr A. D.** The bearing capacity of floating ice plates subjected to static or quasi-static loads // J. Glaciology. 1976. V. 17, N 76. P. 229–268.
3. **Squire V. A.** Moving loads on ice plates / V. A. Squire, R. J. Hosking, A. D. Kerr, P. J. Langhorne. Dordrecht: Kluwer Acad. Publ., 1996.
4. **Squire V. A.** Synergies between VLFS hydroelasticity and sea ice research // Intern. J. Offshore Polar Engng. 2008. V. 18, N 4. P. 241–253.
5. **Lu D. Q., Dai S. Q.** Generation of transient waves by impulsive disturbances in an inviscid fluid with an ice-cover // Arch. Appl. Mech. 2006. V. 76. P. 49–63.
6. **Lu D. Q., Dai S. Q.** Flexural- and capillary-gravity waves due to fundamental singularities in an inviscid fluid of finite depth // Intern. J. Engng Sci. 2008. V. 46, N 3. P. 1183–1193.
7. **Kozin V. M., Pogorelova A. V.** Mathematical modeling of shock loading of a solid ice cover // Intern. J. Offshore Polar Engng. 2006. V. 16, N 1. P. 1–4.
8. **Ткачева Л. А.** Движение системы сейсмоисточников под действием импульса на льду водоема // ПМТФ. 2007. Т. 48, № 2. С. 147–155.
9. **Жесткая В. Д., Козин В. М.** Численное решение задачи о воздействии ударного импульса на ледяной покров // ПМТФ. 2008. Т. 49, № 2. С. 152–159.
10. **Ткачева Л. А.** Воздействие периодической нагрузки на плавающую упругую пластину // Изв. РАН. Механика жидкости и газа. 2005. № 2. С. 132–146.
11. **Стурова И. В., Коробкин А. А.** Плоская задача о воздействии периодической нагрузки на упругую пластину, плавающую на поверхности бесконечно глубокой жидкости // ПМТФ. 2005. Т. 46, № 3. С. 61–72.
12. **Коробкин А. А., Хабахпашева Т. И.** Построение точных решений в задаче о плавающей пластине // Прикл. математика и механика. 2007. Т. 71, вып. 2. С. 321–328.
13. **Хейсин Д. Е.** Динамика ледяного покрова. Л.: Гидрометеиздат, 1967.
14. **Фрейденталь А., Гейрингер Х.** Математические модели неупругой сплошной среды. М.: Физматгиз, 1962.
15. **Takizawa T.** Deflection of a floating sea ice sheet induced by a moving load // Cold Regions Sci. Technol. 1985. V. 11. P. 171–180.

*Поступила в редакцию 23/X 2008 г.,  
в окончательном варианте — 10/IV 2009 г.*

---